

патрубка 5. Невелика частина цього дрібнодисперсного пилу пронесеться разом з газовим потоком мимо патрубка виходу пилу 5 близче до жалюзійного відокремлювача 3, але зустріне на своєму шляху відбивач 6, який розташований в апараті між верхнім правим краєм патрубка для виходу пилу 5 і жалюзійним відокремлювачем під певним кутом до вертикальної осі корпуса апарату.

Нами проведені порівняльні дослідження запропонованого горизонтального пиловловлювача із прототипом на експериментальному стенді НУ „Львівська політехніка”, результати яких наведені в табл.1. В якості пилу прийнятий кварцовий пісок.

Як видно з таблиці 1 переваги запропонованої конструкції очевидні.

Висновки. Шляхом створення пиловловлювача, жалюзійний відокремлювач в якому розташований в корпусі апарату вздовж осі апарату, яка розміщена перпендикулярно до осі абсцис і осі ординат апарату, а також має відбивач пилу, розташований в корпусі апарату між верхнім правим краєм пиловипускного патрубка і жалюзійним відокремлювачем під кутом  $60^\circ$  до вертикальної осі корпуса апарату; крім того має два діаметрально протилежні патрубки для виходу очищеного газу, які розташовані по осі жалюзійного відокремлювача, а за межами корпусу апарату підймаються вертикально вверх паралельно стінкам корпусу апарату і над кришкою апарату переходят у патрубок виходу очищеного повітря, який розташований співвісно корпусу апарату вздовж його вертикальної осі, нам вдалося досягти значного збільшення на 10-12% ефективності вловлення дрібнодисперсного пилу у порівнянні з еталоном – циклоном ЦН-11, зменшивши при цьому гіdraulічний опір (енергоємність) і витрати матеріалу (металоємність).

У даний час проводиться впровадження запропонованого апарату в системах очистки повітря при обробці матеріалів на металообробних верстатах.

#### Список літератури

1. Патент на корисну модель № 20786B01Д45/12 від 31.07.06; Циклон із горизонтальним віддільником/ Параняк Н.М. №И200608582 Опубл. 15.02.2007. Бюл.№ 2, 2007
2. Параняк Н.М. Зумовленість та стан екологічної безпеки України /Дадак Ю.Р./ Наукові вісті інституту менеджменту та економіки Галицька академія
3. Батлук В.К. The Problem of Highly Effective Cleaning of air from dust/ Modern problems of radio engineering, telecommunicataions and computer science. Proceedings of the International Conference TCSET 2006, Lviv-Slavsko, Ukraine.c.46-48.

---

УДК 621.9

В.В. Вовк, ас., В.А. Токунов, маг.  
НТУ України «Київський політехнічний інститут» м. Київ, Україна

## ОПРЕДЕЛЕНИЕ КИНЕМАТИЧЕСКИХ ГЕОМЕТРИЧЕСКИХ ПАРАМЕТРОВ КОНИЧЕСКИХ ПЕРЕДНЕЙ И ЗАДНЕЙ ПОВЕРХНОСТЕЙ СФЕРИЧЕСКИХ КОНЦЕВЫХ ФРЕЗ

---

В статті вирішена задача визначення геометрических параметров сферических кінцевих фрез з конічними передньою та задньою поверхнями в кінематичній системі координат. На основі цих залежностей, в результаті аналізу впливу кутів нахилу, впередження осі фрези та величини подачі на кінематичні геометрическі параметри, можливо визначити такі їх значення, при яких їх зміна вздовж різальної кромки не буде перевищувати задану величину.

The problem of definition geometrical parameters of the spherical end milling cutters with conical front and back surfaces in the kinematics system of co-ordinates is solved in the articles. Based on these relationships and the analysis of the influence of tilt angles, the advance axis cutter and feed on the kinematics geometric parameters may define such of their value at which they change along the cutting edge does not exceed the specified value.

---

**Вступление.** Одними из основных параметров, определяющих протекание процесса резания и явлений, его сопровождающих, являются геометрические параметры режущей части инструмента. Инструментальные геометрические параметры, которые используются для изготовления и контроля инструмента, не учитывают действительное направление скорости резания в различных точках режущих кромок при установке инструмента на станок [1, 2]. Статическая же система координат используется для приближенных расчетов углов режущей кромки в процессе резания [1], поскольку определяется относительно скорости главного, а не результирующего движения

резания. Вследствие этого наиболее точно определяющими геометрические параметры инструмента в процессе резания является кинематическая система координат. Учитывая, что согласно [3] нормальные статические передний и задний углы у сферических концевых фрез с коническими передней и задней поверхностями постоянны вдоль режущей кромки, и равны инструментальным, возникает задача определения кинематических геометрических параметров при известных статических.

**Определение кинематических геометрических параметров сферической концевой фрезы с коническими передней и задней поверхностями.** Отличие кинематических параметров от статических объединяется тем, что вектор скорости результирующего движения резания  $\vec{V}_e$  не совпадает с вектором  $\vec{V}$  скорости главного движения резания в исследуемой точке режущей кромки, и следовательно, изменяется положение плоскостей, относительно которых определяются геометрические параметры.

Поскольку главная секущая плоскость статической и кинематической систем координат не совпадают, целесообразней определять кинематические геометрические параметры в нормальном к режущей кромке сечении, где угол  $\tau_N$  между кинематической  $P_{nk}$  и статической  $P_{nc}$  плоскостями резания будет представлять собой разность нормальных кинематического и статического передних (задних) углов.

Угол же между кинематической и статической плоскостями резания может быть определен как угол между их нормалями. Векторным произведением касательного к режущей кромке вектора  $\vec{P}$  и скорости главного движения резания  $\vec{V}$  будет вектор нормали  $\vec{N}_{pc}$  к статической плоскости резания, а произведение  $\vec{P}$  и вектора скорости результирующего движения  $\vec{V}_e$  - соответственно вектором нормали к кинематической плоскости резания  $\vec{N}_{pk}$ . Оба эти вектора лежат в нормальной секущей плоскости, и следовательно, угол между этими векторами и есть искомым углом  $\tau_N$ .

Величина этого угла определяется по зависимости:

$$\cos \tau_N = \frac{\vec{N}_{pc} \cdot \vec{N}_{pk}}{|\vec{N}_{pc}| \cdot |\vec{N}_{pk}|}$$

Определим направление скорости результирующего движения для любой точки режущей кромки сферической концевой фрезы в произвольный момент времени, исходя из того, что положение режущей кромки в пространстве будет определяться тремя угловыми параметрами:

- углом поворота фрезы вокруг своей оси  $t_{noe}$ ;
- углом наклона  $t_{nakl}$  оси фрезы относительно нормали к обрабатываемой поверхности в плоскости, перпендикулярной направлению подачи;
- углом между осью фрезы и нормалью к обрабатываемой поверхности, измеряемым в направлении подачи – углом опережения  $t_{onep}$ .

С режущей кромкой фрезы свяжем систему координат  $XYZ$ , в которой определены векторы  $\vec{P}$  и  $\vec{V}$ . Введем систему координат  $X_{ep}Y_{ep}Z_{ep}$  (рис. 1.), ось  $Z_{ep}$  которой совпадает с осью  $Z$ , а положение режущей кромки в этой системе координат определяется углом поворота фрезы вокруг оси  $t_{noe}$ . Введем также системы координат  $X_{nakl}Y_{nakl}Z_{nakl}$  и  $X_{onep}Y_{onep}Z_{onep}$ , положение которых определяется угловыми параметрами  $t_{nakl}$  и  $t_{onep}$ . Система  $X_{onep}Y_{onep}Z_{onep}$  является неподвижной системой координат и ось  $Y_{onep}$  совпадает с направлением скорости подачи.

Формулы перехода от системы  $XYZ$  к системе  $X_{ep}Y_{ep}Z_{ep}$  запишутся:

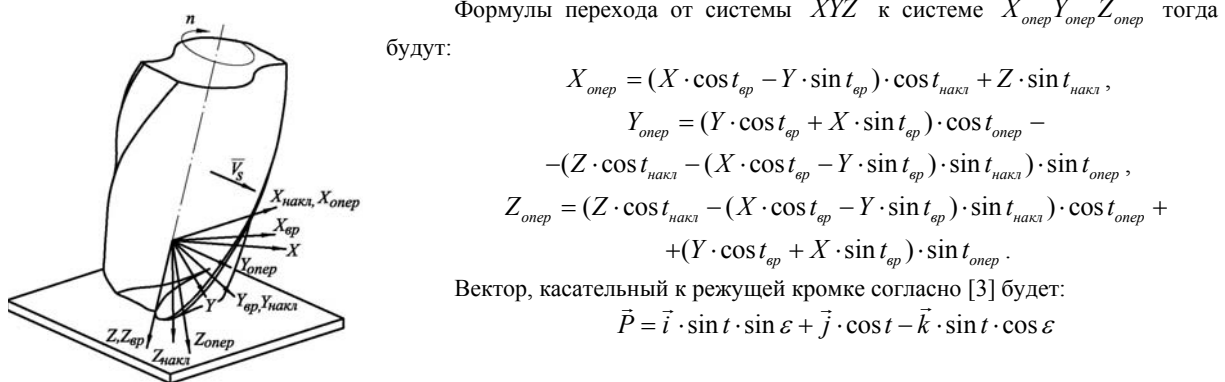
$$\begin{aligned} X_{ep} &= X \cdot \cos t_{ep} - Y \cdot \sin t_{ep}, \\ Y_{ep} &= Y \cdot \cos t_{ep} + X \cdot \sin t_{ep}, \\ Z_{ep} &= Z. \end{aligned}$$

Формулы перехода от системы  $X_{ep}Y_{ep}Z_{ep}$  к системе  $X_{nakl}Y_{nakl}Z_{nakl}$  запишутся:

$$\begin{aligned} X_{nakl} &= X_{ep} \cdot \cos t_{nakl} + Z_{ep} \cdot \sin t_{nakl}, \\ Y_{nakl} &= Y_{ep}, \\ Z_{nakl} &= Z_{ep} \cdot \cos t_{nakl} - X_{ep} \cdot \sin t_{nakl}. \end{aligned}$$

Формулы перехода от системы  $X_{nakl}Y_{nakl}Z_{nakl}$  к системе  $X_{onep}Y_{onep}Z_{onep}$  запишутся:

$$\begin{aligned} X_{onep} &= X_{nakl}, \\ Y_{onep} &= Y_{nakl} \cdot \cos t_{onep} - Z_{nakl} \cdot \sin t_{onep}, \\ Z_{onep} &= Z_{nakl} \cdot \cos t_{onep} + Y_{nakl} \cdot \sin t_{onep}. \end{aligned}$$



Формулы перехода от системы  $XYZ$  к системе  $X_{onep}Y_{onep}Z_{onep}$  тогда будут:

$$\begin{aligned} X_{onep} &= (X \cdot \cos t_{ep} - Y \cdot \sin t_{ep}) \cdot \cos t_{накл} + Z \cdot \sin t_{накл}, \\ Y_{onep} &= (Y \cdot \cos t_{ep} + X \cdot \sin t_{ep}) \cdot \cos t_{onep} - \\ &\quad -(Z \cdot \cos t_{накл} - (X \cdot \cos t_{ep} - Y \cdot \sin t_{ep}) \cdot \sin t_{накл}) \cdot \sin t_{onep}, \\ Z_{onep} &= (Z \cdot \cos t_{накл} - (X \cdot \cos t_{ep} - Y \cdot \sin t_{ep}) \cdot \sin t_{накл}) \cdot \cos t_{onep} + \\ &\quad +(Y \cdot \cos t_{ep} + X \cdot \sin t_{ep}) \cdot \sin t_{onep}. \end{aligned}$$

Вектор, касательный к режущей кромке согласно [3] будет:

$$\vec{P} = \vec{i} \cdot \sin t \cdot \sin \varepsilon + \vec{j} \cdot \cos t - \vec{k} \cdot \sin t \cdot \cos \varepsilon$$

Рис. 1. Расположение систем координат в пространстве

где  $\varepsilon$  – угол наклона плоскости, в которой лежит режущая кромка, представляющая собой основание конических передних и задних поверхностей, к оси фрезы;  $t$  – угловой параметр, определяющий расположение исследуемой точки на режущей кромке.

Единичный вектор скорости главного движения резания в системе  $XYZ$ :

$$\vec{V} = -\vec{i} \cdot \cos \mu - \vec{j} \cdot \sin \mu$$

где  $\mu$  – угол определяющий направление скорости главного движения резания в исследуемой точке.

Единичный вектор скорости подачи в системе  $X_{onep}Y_{onep}Z_{onep}$  имеет вид:

$$\vec{V}_s = \vec{j}.$$

За единицу времени, равную одному обороту фрезы вокруг своей оси, произвольная точка режущей кромки при вращении пройдет путь, равный длине окружности, радиус которой равен расстоянию этой точки до оси вращения, а также в направлении подачи расстояние, равное подаче на оборот.

Тогда вектор скорости главного движения системы  $XYZ$  можно записать:

$$\vec{V} = (-\vec{i} \cdot \cos \mu - \vec{j} \cdot \sin \mu) \cdot 2\pi r,$$

где  $r$  – расстояние рассматриваемой точки до оси вращения, мм

Тогда вектор скорости подачи в системе  $X_{onep}Y_{onep}Z_{onep}$  примет вид:

$$\vec{V}_s = \vec{j} \cdot S_z \cdot z,$$

где  $S_z$  – подача на зуб, мм/зуб,  $z$  – количество зубьев фрезы.

Определив вектор  $\vec{V}$  системе  $X_{onep}Y_{onep}Z_{onep}$  и сложив с  $\vec{V}_s$  получим вектор скорости результирующего движения резания  $\vec{V}_e$ .

Далее определяются векторы  $\vec{N}_{pc}$  и  $\vec{N}_{pk}$  и угол между ними  $\tau_N$ :

$$\vec{N}_{pc} = \vec{P} \cdot \vec{V}, \quad \vec{N}_{pk} = \vec{P} \cdot \vec{V}_e,$$

$$\cos \tau_N = \frac{\vec{N}_{pc} \cdot \vec{N}_{pk}}{|\vec{N}_{pc}| \cdot |\vec{N}_{pk}|}.$$

Тогда кинематические передний  $\gamma_{hk}$  и задний  $\alpha_{hk}$  углы в нормальном к режущей кромке сечении будут:

$$\gamma_{hk} = \gamma_{hc} + \tau_N,$$

$$\alpha_{hk} = \alpha_{hc} - \tau_N .$$

Кинематический угол  $\lambda_k$  наклона режущей кромки определяется по зависимости:

$$\sin \lambda_k = \frac{\vec{P} \cdot \vec{V}_e}{|\vec{P}| \cdot |\vec{V}_e|} .$$

Тогда кинематические передний и задний углы можно определить по зависимостям:

$$\operatorname{tg} \gamma_k = \operatorname{tg} \gamma_{hk} / \cos \lambda_k ,$$

$$\operatorname{ctg} \alpha_k = \operatorname{ctg} \alpha_{hk} / \cos \lambda_k .$$

По приведенных зависимостях рассчитываются геометрические параметры сферических концевых фрез с коническими передней и задней поверхностями в кинематической системе координат.

**Выводы** В статьи решена задача определения геометрических параметров сферических концевых фрез с коническими передней и задней поверхностями в кинематической системе координат.

### Список литературы

1. ДСТУ 2249-93 «Оброблення різанням. Терміни, визначення та позначення»
2. Равская Н.С., Николаенко Т.П., Мельничук Л.С. Общая теория определения геометрических параметров инструмента // Надійність інструменту та оптимізація технологічних систем. Збірник наукових праць – Краматорськ: ДДМА, вип. № 14, 2003. – С. 3-11.
3. Равская Н.С., Вовк В.В., Скрынник П.В., Корзун С.В. Геометрия сферических концевых фрез с коническими передней и задней поверхностями // Наукові праці Донецького національного технічного університету. Серія: Машинобудування і машинознавство. Випуск № 5(139). – Донецьк: ДонНТУ, 2008. – С. 113-119.

УДК 621.983.07:669.017

В.А. Тітов, д-р. техн.наук, проф., Р.С. Борис, асп., П.С. Вишневський,  
О.О. Лук'яненко  
НТУ України «Київський політехнічний інститут» м. Київ, Україна

## ОБГРУНТУВАННЯ ТА РЕАЛІЗАЦІЯ ДОСЛІДНОГО ПРОЦЕСУ ВИГОТОВЛЕННЯ БІМЕТАЛЕВИХ ТРУБЧАСТИХ ЕЛЕМЕНТІВ

Выполнено уточненное теоретическое и экспериментальное обоснование процесса изготовления биметаллических трубчатых элементов вытяжкой из раздельных заготовок. В результате конечно-элементного моделирования обосновано благоприятное распределение напряжений и деформаций в очаге деформирования при вытяжке с утонением для формирования соединения слоев. Экспериментально показано образование соединения при взаимодействии слоев. Полученные результаты дают основу для усовершенствования процесса в последующих исследованиях в этой отрасли.

The specified theoretical and experimental ground of process of making of bimetallic tuberules is executed by extraction from separate purveyances. As a result of certainly element design grounded favourable distributing of tensions and deformations in the cell of deformation at drawing out with thinning for forming of connection of layers. Formation of connection is experimentally rotined at co-operation of layers. The got results give basis for the improvement of process in subsequent researches in this industry.

Сучасні тенденції розвитку різноманітних галузей промисловості характеризуються різким підвищенням потреб до якості та експлуатаційним властивостям виробів при зниженні собівартості їх виробництва. На даному етапі в сучасному машинобудуванні широке застосування знаходить шаруваті металеві композиції трубчастої форми (біметалеві трубчасті елементи – БТЕ), які використовуються як переходні для з'єднання трубопроводів в паливних системах. Вони забезпечують ефективне з'єднання трубопроводів з різних металевих матеріалів.

Традиційні технології виготовлення біметалевих деталей трубчастої форми спрямовані на крупносерійне виробництво [1], мають високу трудоемкість та специфіку виконання. Тому ці технології в даний час економічно не доцільно використовувати в мілкосерійному та одиничному виробництві.

Таким чином, розвиток теорії пластичного формозмінення двохшарових матеріалів здобуває особливу актуальність в машинобудівному виробництві.